

冷弯方矩管 R 角控制方法的探索与研究

柳喆

山西钢铁建设(集团)有限公司山西鼎荣冷弯型钢有限公司 山西 太原 030008

【摘 要】: 对冷弯成型过程中影响 R 角一致性的因素进行分析,因素包括材料的厚度、R 值、屈服强度。同一批次、不同炉批的力学性能的差异性,影响到了钢管截面尺寸的一致性和互换性。

【关键词】: 冷弯方矩管; R 角; 一致性; 控制方法

1 引言

冷弯方矩管被应用我国建设的多个行业,通过成型轧辊的多道辊压成型,焊接,整形,生产出满足需求的各种尺寸的方矩形钢管。随着各企业向自动化发展的逐步迈进,机器人的应用越来越广泛,方管的技术要求也随着自动化产业的扩展而提升,如何生产出可满足机器人要求的原材料也迫在眉睫,在此过程中,保证流水化作业首要解决的问题即是产品的一致性、互换性,需要对冷弯方矩形管 R 角的进一步控制。要求钢管焊缝无论朝那个方向,都要求圆弧处错台小于1.5mm。

以原有的冷弯方管举例,通过下图可明显看出第一弯角 趋于内趴型。



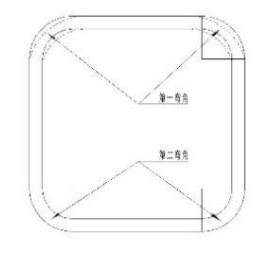


图 1

图 2

2 原因分析

产生内趴的原因主要有板料宽度分配的偏差;弯曲角度 的影响;空弯造成板料的成型不到位。

2.1 板料宽度计算偏差

由于现在生产方管采用的是直接成方的工艺,需要在设计辊花时合理的分配圆弧用料和直线段用料。在其板料的弯曲面上必然会有一个既不受拉,又不受压的过渡层,应力几乎等于零,这个过渡层称为材料的中性层。中性层系数 K 值的选取决定了 R 角对称的关键性因素。

现采用标识法对不同厚度、不同力学性能的板料进行分析研究,对于中性层系数的影响因素有厚度、R 角值,屈服强度、抗拉强度。

通过在生产的过程中,用同一套轧辊在不进行任何的调整状态下,同一材质的不同炉批号的钢卷所生产的钢卷截面

尺寸也不尽相同。发现同一批次的钢卷,由于钢卷的力学性 能存在差异,导致了其截面无法做到完全一致。在对轧辊间 距进行微调后,可得到较为稳定的截面。

因此在孔型设计时,不但需要考虑 R 角与厚度之间的关系,同样也需考虑钢卷力学性能对其中性层的影响。

现采用的比较合理公式:

 $K = 0.567 \times (R_i/t + 0.25) \div (1.2 \times R_i/t + 1) \times (1 + \sigma_s^{2.5}/(2051 \times \sigma_b^{1.41}))$ (公式 1)

R_i---内弯角半径

t----材料厚度

σ_s-----屈服强度

σь----抗拉强度

该公式所反映的 K 值,与实际生产中通过标记法实际测量的 K 值虽有差异,但计算结果差别很小。

现将该公式分解为两个部分,即 $(R_i/t+0.25)$ ÷ $(1.2 \times R_i/t+1)$ 和 $(1+Y^{2.5}/(2051 \times U^{1.41}))$,通过函数图表对其进行分析,这里将 R_i/t 简化为x,U 和 Y 的关系通过屈强比 λ 进行作图。屈强比范围为 $0.7^{\circ}0.9$ 之间进行分析及 $Y=\lambda$ U

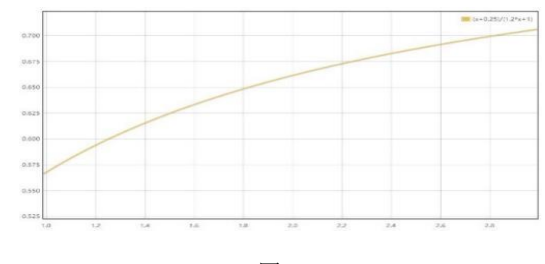


图 3

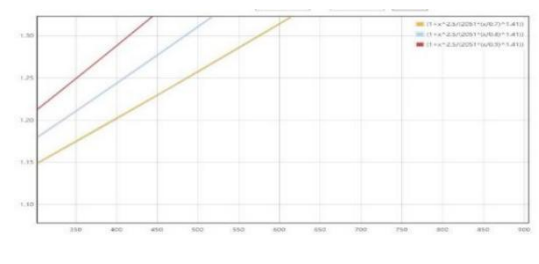


图 4



通过图 3、图 4 进行分析我们可以看到, R_i/t 与 λ 越大,K 值也越大。

我们通过常用冷弯方管进行计算,R_i的确定按照 GB/T6728 中所规定的中间值进行选取。计算结果如下表

表 1

序号	厚度	R 角	屈服	抗拉	屈强比	K 值	弯角弧长
			强度	强度			
1	6	6	378	538	0.70	0.38	13.04
2	6	6	424	541	0.78	0.40	13.23
3	6	6	472	538	0.88	0.43	13.47
4	8	10	423	549	0.77	0.42	21.04
5	8	10	475	544	0.87	0.45	21.41
6	8	10	506	547	0.93	0.47	21.64
7	10	12	395	567	0.70	0.40	25.19
8	10	12	475	570	0.83	0.44	25.79
9	10	12	508	548	0.93	0.47	26.21
10	12	15	384	538	0.71	0.41	31.25
11	12	15	464	573	0.81	0.44	31.85
12	12	15	497	570	0.87	0.46	32.21

通过表 1 可看出,同样厚度、材质的板料,当屈强比越大时,K 值也越大,而在板厚度不大于 8mm 的情况下,钢卷可以混产。当板厚超过 10mm 后,为了保证孔型的一致,需要将原料卷按照屈强比的大小进行分类,按照屈强比的分类对轧辊间距进行微调以保证所生产的孔型一致。厚度越大,屈强比分类区间越小,微调次数越多。

2.2 孔型设计中弯曲角度的影响

在成型的过程中,合理的分配角度至关重要,而如果成型角度过大,必然会使板料厚度发生变化,内应力的增加,造成板料回弹原有的圆弧变为直线段。

当板料在受到成型力的作用下,通过与板料内部的残余应力相互作用,使板料发生弯曲,导致板料内应力状态的重新分部,当板料通过成型机架,位于两组机架之间时,相当于外力卸载,板料发生回弹。在成型时,一方面有塑性变形,同时也伴随着弹性变形,架次的间距越大,越容易发生板带的回弹,及板带内应力的释放。在板料内部所产生的内应力越大,合理的选择成型角度就非常重要。

现对板料的回弹进行分析。

回弹恢复计算公式如下:

$$r_s = \frac{1}{\frac{1}{R_i} - (\frac{2 \times \sigma_s}{E \times t} \times \left(1.5 - 0.5 \times \frac{2 \times R_i \times \sigma_s^2}{E \times t}\right)} - \left(K \times t\right) \; (\, \text{$\stackrel{\triangle}{\boxtimes}$} \, \text{$\stackrel{$$

$$\alpha_0 = \frac{1}{\frac{1}{R_i} - \left(C_t \times \left(1.5 - 0.5 \times \epsilon^2 \right) \right)} \div R_i \times \alpha \ (\, \text{$\not \simeq$} \, \text{$\not \simeq$} \, \text{$\not \simeq$} \,)$$

R_i---内弯角半径

t----材料厚度

σς----屈服强度

σ_b----抗拉强度

E----弹性模量

α----设计角度

α0----恢复角度

r_s-----恢复内弯角半径

现采用材质为 Q355B 的不同厚度原材料进行计算, 计算结果如下表:

表 2

序号	厚度	R 角	屈服强度	к值	rs	α0
1	6	6	378	0.38	6.063	89.310
2	6	6	424	0.4	6.073	89.214
3	6	6	472	0.43	6.085	89.106
4	8	10	423	0.42	10.139	89.064
5	8	10	475	0.45	10.162	88.928
6	8	10	506	0.47	10.177	88.844
7	10	12	395	0.4	12.149	89.163
8	10	12	475	0.44	12.188	88.966
9	10	12	508	0.47	12.209	88.873
10	12	15	384	0.41	15.187	89.156
11	12	15	464	0.44	15.234	88.959
12	12	15	497	0.46	15.257	88.871

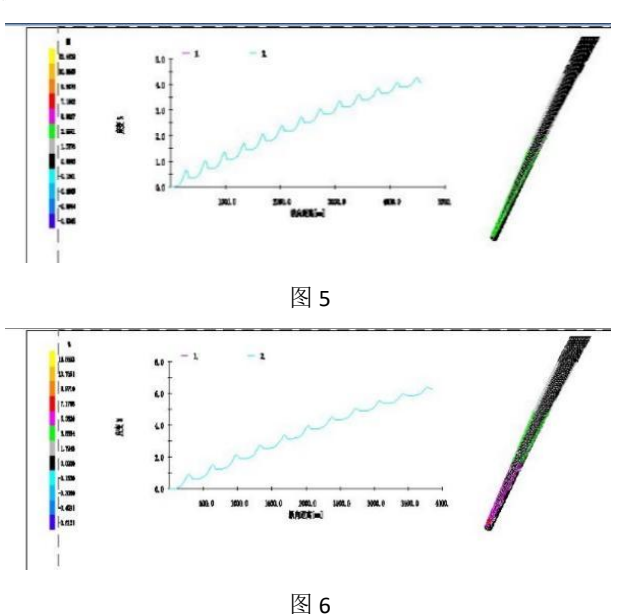
通过表 2 可看出,当我们按照国标的 R 角和图纸的弯曲 角度进行设计时,由于板料的回弹,最终得到的弯曲角度和 R 角值都会变大,因此在每架成型角度的基础上,要适当增 大弯曲角度和减小轧辊的 R 角,才能保证每架次弯曲角度达 到设计角度。



这是由于回弹角与材料的屈服强度、硬化指数成正比, 与弹性模量 E 成反比, 屈服强度越大, 板料内应力也越大, 导致大的弹性变形,弹性模量越大,材料抵抗弹性弯曲的能 力也越大。在实际生产过程中, 由于每炉钢的材料性能不稳 定,回弹值随之也会出现波动。

以表 2 中序号 10 举例,对于不同的成型角度,考虑的 过弯量也不同, R 角越大时, 相对于厚度的变形趋势越小, 板料中性层两侧的纯弹性变形区以及塑性变形区总变形中 的弹性变形比重增大,塑性变形不充分。这就要求在设计时, 对每架的成型角度进行过弯,对每架次的轧辊成型 R 角也要 适当的减小,才能达到设计的初衷。

同样,两个相邻道次间成型的角度越小,板料所产生的 内应力也随之越小,分别采用 10 组机架和 12 组机架进行分 析。



上图中,成型机架分别采用 12 架和 10 架进行成型,在 成型过程中,最大应变分别为4.26%和6.2%,减小其成型过 程中的残余应力,可更好的使 R 角成型到位。用 12 组机架 成型,减小了相邻架次的成型角度,降低了内应力。

2.3 空弯造成板料的成型不到位

在成型过程中,由于轧辊无法与下 R 角进行约束,导致 下 R 角为空弯, 上辊无法给予板带进行压缩作用, 下 R 角会 增大。

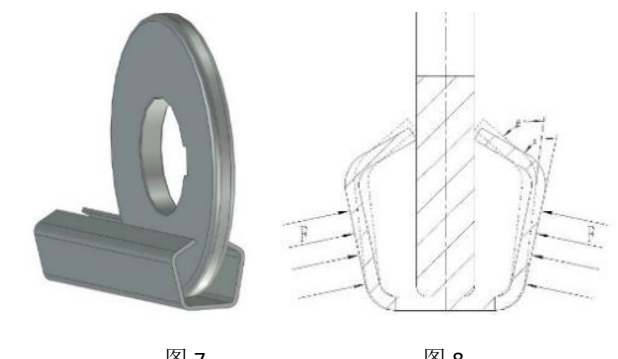


图 7 图 8

图 8 明显可以看出,由于板带的成型,第 1 弯角在成型 到角度 α 时, 上轧辊无法压紧到第二弯角的内 R 处, 致使内 R 处无法提供约束, 第二弯角在受到校正弯曲的弯曲力 F 的 作用下, 会有向内弯曲的趋势, 如果弯曲力 F 过大, 很有可 能导致压轧线向内偏移。第一弯角直线段向内偏移, 板带自 由边在碰触到轧辊侧时,原有角度α减小至角度β,弯曲力 作用面直线段尺寸增大。



图 9

3 主要解决措施

- (1) 合理计算板宽,确定弯角圆弧所需板料宽度和挤 压量,根据机组情况和原材料材质书,进行实际测量,确定 好中性层系数。
- (2) 合理分配成型角度,采用下山法的方式通过减小 应力,使每架次受力最大值稳固在合理的计算范围之内。
- (3) R 角空弯,需要计算合理的定径量,同时采用补偿 法,根据板料的回弹趋势,进行修正弯曲前几架道次的上辊 尺寸,使板料的回弹量得到补偿。如有必要,需增加内压装 置。

4 结论

为了控制好 R 角的一致性,需要对中性层进行反复的验 算,在验算过程中,不仅要验算 R 角、板厚,同时应考虑原 材料的本身的力学性能。在设计辊花图时,需要根据原材料 的屈服强度、厚度、R角对每架次的回弹进行重新分配。对 钢卷进行入厂检验,参照钢厂提供的产品质量证明书,对钢



卷进行分类,以保证快速稳定的生产。

参考文献:

- [1] 乔治·哈姆斯,刘继英,艾正青.冷弯成型技术手册[M].化学工业出版社,2009.
- [2] 吴必顺.厚壁方矩管外圆弧不对称缺陷的探讨[J].焊管.2000(1).
- [3] 董晓俊.冷弯厚壁方矩形管的参与应力[D].武汉科技大学,2012.
- [4] 吴义江,赵耀.高强度钢厚板冷弯成型及回弹分析[J].中国造船.2014(12)
- [5] 国家质监局.结构用空心冷弯型钢[S].北京:中国标准化出版社,2017.
- [6] 国家质监局.塔机用冷弯方矩形管[S].北京:中国标准化出版社.2010.